

电子束控制放电 CO₂ 激光器用于 半导体诱导掺杂的研究

范安辅

钟 涛 林理彬

(四川大学光电系, 成都 610064)

(四川大学物理系)

摘要: 电子束控制放电 CO₂ 激光器的脉冲能量是~50 J, 光斑直径为~ ϕ 60 mm, 聚焦后光斑直径为~ ϕ 20 mm, 用该激光器在硅中诱导掺入杂质锑和铝, 得到了浅突变 p-n 结。结的大小为直径 ϕ 10~15 mm, 最大为 ϕ 20 mm, 结深为 0.2~0.7 μ m, 并具有~500 mV 的光生电压。

关键词: 电子束, 控制放电, 诱导掺杂

Study on induced doping to semiconductor by e-beam controlled discharge CO₂ laser

Pan Anfu

(Department of Opto-Electric Science and Technology, Sichuan University, Chengdu)

Zhong Tao, Lin Libin

(Physics Department, Sichuan University, Chengdu)

Abstract: The pulse energy of e-beam controlled discharge CO₂ laser is 50 J. The diameter of light spot is ϕ 60 mm and after being focused it becomes to ϕ 20 mm. The induced doping of stibium (Sb) or aluminium (Al) in silicon (Si) is carried out by CO₂ laser. A shallower of p-n junction with a diameter of 10~15 mm (max. 20 mm) and a depth of 0.2~0.7 μ m is obtained. Photo-voltage of p-n junction is about 500 mV.

Key words: e-beam, controlled discharge, induced doping

一、引言

用激光对半导体诱导掺杂, 人们常采用红宝石激光、Nd³⁺:YAG 激光和 Nd³⁺:glass 激光^[1,2]。这些固体激光器输出的激光波长较短, 半导体硅对较短波长的激光吸收很强, 因而使掺杂易于进行。但是这些激光器难于提供面积较大的均匀的光功率密度, 因而对需要大面积 p-n 结的半导体器件(如半导体光电探测器, 太阳能电池等)来说, 激光掺杂遇到了困难。J. C. Muller^[3] 曾用多模红宝石激光(能量密度 0.8~2 J/cm², 束斑直径 6 mm), 采用重迭辐照扫描方法, 获得较大面积的 p-n 结, 但因多次激光扫描的效果难于控制, 掺杂很不均匀。我们用电子束控制放电的 CO₂ 激光器输出的脉冲激光能量大、光斑大这一特点, 在硅基片上激光辐

照诱导掺入锑和铝, 形成的 *p-n* 结, 其直径可达 $\phi 10\sim 15$ mm, 最大达到 $\phi 20$ mm, 结深为 $0.2\sim 0.7 \mu\text{m}$ 。研究了形成 *p-n* 结的阈值能量密度、杂质浓度、结深的分布与预热温度的关系, 测得的光生电压为 $400\sim 500$ mV。

二、激光装置

电子束控制放电 CO₂ 激光器作为诱导掺杂的光源。电子束参数为^[4]: 束截面 $60\times 10 \text{ cm}^2$, 束能量 $110\sim 230 \text{ keV}$, 束流 $6\sim 13 \text{ kA}$, 流强 $0.5\sim 3 \text{ A}\cdot\text{cm}^{-2}$, 脉宽 $0.7\sim 1.5 \mu\text{s}$ 。激光器腔长 1.4 m , 主放电为一仿罗可夫斯基型铝板, 阴极用 $\phi 1 \text{ mm}$ 、间距为 1 cm 的镍丝网, 主放电距离为 7 cm 。谐振腔的全反射镜用镀金的凹面镜, $R=15 \text{ m}$, 输出耦合用锗平面镜, 对 $10.6 \mu\text{m}$ 的透过率为 42% , 两镜直径为 $\phi 86 \text{ mm}$ 。激光输出能量与主放电电压的关系如图 1 所示。激光打在热敏纸上的光斑其直径可达 $\phi 60 \text{ mm}$, 通过 KCl 晶体透镜聚焦后在焦点附近的光斑(打在黑色相纸上)其直径为 $\phi 20 \text{ mm}$, 如图 2 所示。从利用激光热效应的角度讲, 光斑较均匀, 符合大面积掺杂的要求。

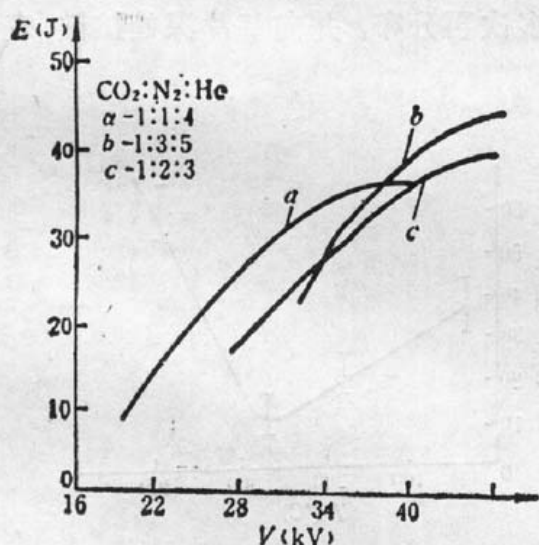


Fig. 1 Laser energy vs. master discharge voltage

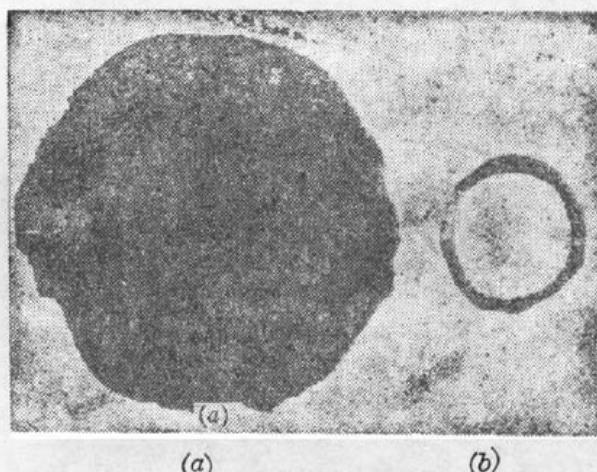


Fig. 2 Light spot of laser
(a) before focusing; (b) after focusing

三、实验方法

掺杂样片是硅中掺锑(Sb)和硅中掺铝(Al)两种, 前者是 *P* 型单晶硅片, 后者是 *N* 型单晶硅片。晶向都是 $\langle 111 \rangle$, 电阻率 $10 \Omega \text{ cm}$, 厚 0.4 mm 。单面抛光, 化学清洗烘干后, 分别在高真空中($\sim 10^{-5} \text{ mm Hg}$)内蒸镀一层 Sb 和 Al, 纯度都是 99.999% , 镀层厚度在 $20\sim 200 \text{ nm}$ 范围。

硅基片的红外吸收谱如图 3 所示。我们看到 $10.6 \mu\text{m}$ 激光在硅片中透过率达 33% , 激光的作用不足以使杂质层和硅近表面层熔化而实现扩散掺杂。但硅片对红外激光的吸收系数随温度的增加有一显著的陡升^[5, 6]。我们采用基片预热和激光背面辐照, 使激光穿过 0.4 mm 厚的硅片后在硅与杂质层的界面上被大量吸收。

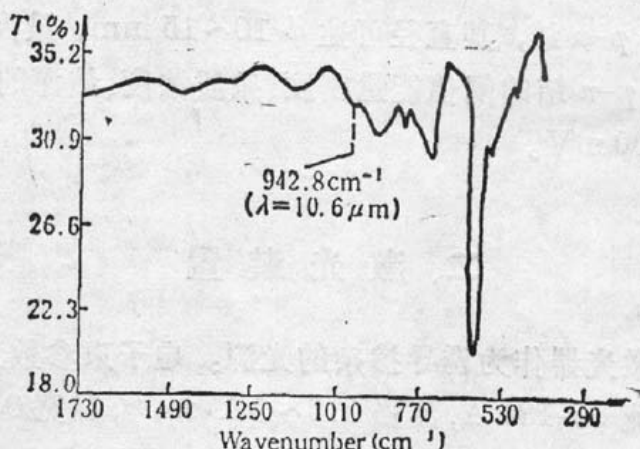


Fig. 3 Infrared absorption spectrum of crystal Si

四、实验结果

用扫描电子显微镜(SEM)观察激光掺杂后样品的表面形貌(图4所示)。显微形貌表明,样品表面出现熔融的痕迹,固液界面呈现不稳定形态,在多个激光脉冲作用下,表面不平整度减轻。这是由于多个脉冲的退火作用,使表面杂质经过多次再分布,并向基片深处扩散,表面状态也趋于均匀。

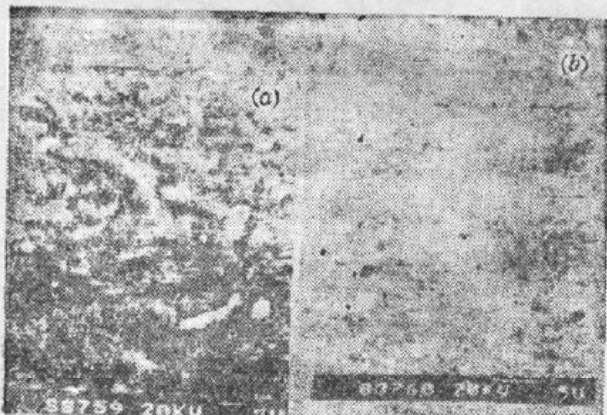
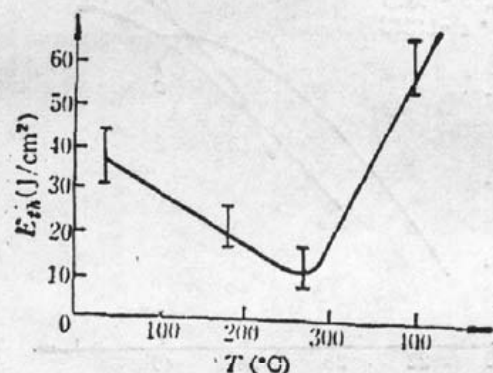


Fig. 4 Microphotogram feature of doping sample (Si-Sb)

- (a) 25 J/cm^2 , preheat $T 250^\circ\text{C}$, 1 shot
- (b) 25 J/cm^2 , preheat $T 250^\circ\text{C}$, 5 shots

Fig. 5 Threshold energy density E_{th} vs preheat temperature T in forming $p-n$ junction (Si-Al)

测量激光辐照后的样片是否明显地形成 $p-n$ 结,发现存在激光掺杂的阈值能量密度 E_{th} ,而且阈值能量密度与基片预热温度有关。预热温度太低和太高都难以掺杂。图5表明,随着预热温度的升高,掺杂所需要的光能密度下降,在 260°C 左右降至最低值(10 J/cm^2),之后阈值随温度增高上升很快,接近 400°C 时,几乎不能诱导掺杂。这个现象出现的原因在于:随着温度升高,硅中自由载流子浓度增加导致吸收加强,而当温度高于 300°C 时,吸收系数开始数量级地增加,发生对 CO_2 激光的增强吸收^[5, 6]。在我们的实验中,激光穿过 0.4 mm 厚的硅片后到达镀有杂质层的界面,从室温到 260°C 范围,吸收系数随温度上升,激光在穿过硅片过程中和在硅-杂质层界面的吸收率都相应增大,反映为阈值降低。但当温度接近 300°C 时,随着硅对 CO_2 激光的吸收陡增,光能的大部分消耗在穿越硅片的过程中,最后到达杂质层的光能

量已很小,因而导致阈值的迅速上升。

用卢瑟福背散射(RBS)技术分析硅中杂质元素的浓度和深度。从静电加速器获得2 MeV的⁴He⁺离子束(束流为10⁻⁸A,束直径1 mm),准直后打在靶样品Si-Sb上,用金硅面垒半导体探测器测量大角度(170°)散射的离子能谱,用束流积分仪记录束流强度,通过计算得到的掺杂浓度和深度分布示于图6。我们看到,掺杂浓度较高,Sb杂质的表面浓度超过平衡固溶度($6 \times 10^{19} \text{ cm}^{-3}$),结深在0.2~0.7 μm范围,p-n结是浅突变结。预热温度较高时,掺杂浓度较高,深度较大。实验还表明,镀层越厚,掺杂量越高,结深也较大;在相同镀层和相同预热温度下,多个激光脉冲重复辐照将增加掺杂量和增大结深,同时使杂质在硅中的分布均匀。

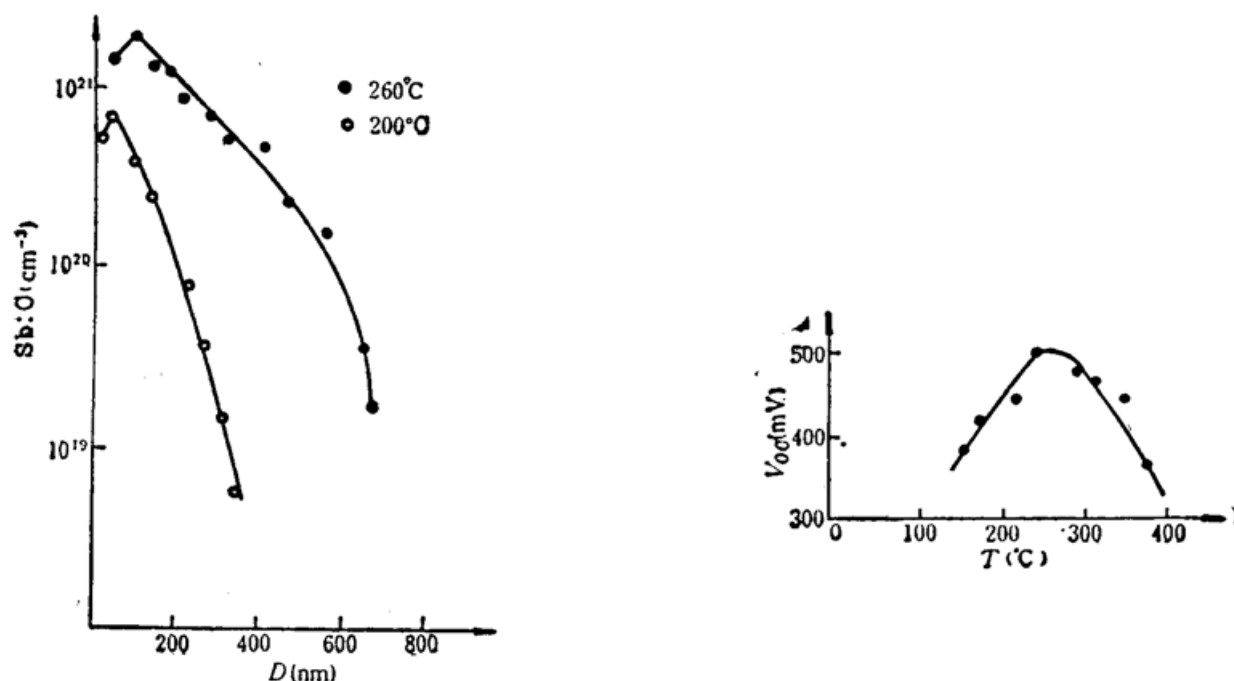


Fig. 6 Distribution of dopant density and depth at different preheat temperatures (Si-Sb, plating layer thickness 56 nm, energy density 25 J/cm², 5 shots. 1 shot: pulse energy is 38 J, pulse width is 500 ns)

Fig. 7 Photo-voltage of p-n junction at different preheat temperatures (Si-Al, 23 J/cm², 5 shots)

在N型硅片上扩入杂质Al,形成p-n结,做上电极就是一个太阳能电池。用氙灯太阳模拟器AM₁作光源(光功率密度100 mW/cm²),照射样品Si-Al的p-n结,测得的光生开路电压与预热温度的关系示于图7,在预热温度260°C、用光能密度23 J/cm²辐照的样品中,得到了约500 mV的光生开路电压,已接近太阳能电池要求的参数。

参 考 文 献

- 1 Ying C. Kiang, J. Randal Moulic et al., IBMJ. Res. Develop., **26**, 171 (1982)
- 2 申勇 et al., 核电子学与探测技术, **6**(3), 154 (1986)
- 3 J. C. Muller et al., IEEE Trans, Electron Devices, **ED-27**(4), 875 (1980)
- 4 范安辅 et al., 四川大学学报, **1**, 34 (1985)
- 5 M. R. T. Siregar, W. Liithy et al., Appl. Phys. Lett., **36**, 787 (1980)
- 6 李元恒,李春金,中国激光, **10**(1), 28 (1982)